

УСТРОЙСТВО НА ОСНОВЕ ПЛИС ДЛЯ РАСПОЗНАВАНИЯ РУКОПИСНЫХ ЦИФР НА ИЗОБРАЖЕНИЯХ

И.В. Зоев¹, А.П. Береснев¹, Н.Г. Марков¹, А.Н. Мальчуков¹

¹Национальный исследовательский Томский политехнический университет, Томск, Россия

Аннотация

Рассмотрена задача создания мобильного и энергоэффективного устройства, позволяющего распознавать рукописные цифры на изображениях с помощью свёрточных нейронных сетей. Устройство реализовано на основе программируемой логической интегральной схемы, входящей в систему на кристалле Cyclone V SX. При этом разработаны функциональные схемы вычислительных блоков, реализующих процедуры свёртки и подвыборки, а также функциональная схема самой свёрточной нейронной сети предложенной архитектуры. Приведены результаты исследования эффективности созданного устройства на программируемой логической интегральной схеме в части точности распознавания рукописных цифр, производительности устройства и его энергопотребления. Показаны результаты сравнения эффективности аппаратной реализации свёрточной нейронной сети с её программной реализацией.

Ключевые слова: распознавание рукописных цифр на изображениях, свёрточные нейронные сети, устройство на основе программируемой логической интегральной схемы.

Цитирование: Зоев, И.В. Устройство на основе ПЛИС для распознавания рукописных цифр на изображениях/ И.В. Зоев, А.П. Береснев, Н.Г. Марков, А.Н. Мальчуков // Компьютерная оптика. – 2017. – Т. 41, № 6. – С. 938-949. – DOI: 10.18287/2412-6179-2017-41-6-938-949.

Введение

Распознавание образов (объектов) на изображениях включает в себя широкий круг задач, например, распознавание символов, в частности рукописных цифр, распознавание лиц, объектов различной физической природы. Методы и алгоритмы распознавания объектов на изображениях широко применяются при создании устройств компьютерного зрения в робототехнических комплексах различного назначения, при анализе аэрокосмических снимков и т.д.

Для распознавания объектов на изображениях весьма часто используются искусственные нейронные сети (ИНС) [1]. Наиболее эффективными из них для решения таких задач являются свёрточные нейронные сети (СНС) [2, 3].

Сегодня при решении ряда прикладных задач востребованы мобильные, малогабаритные и имеющие низкое энергопотребление устройства распознавания рукописных цифр на основе аппаратно реализованных СНС. При этом, учитывая высокую вычислительную сложность СНС, разработчикам приходится искать баланс между точностью распознавания цифр, производительностью и энергопотреблением таких устройств.

В данной статье описывается разработанное на основе программируемой логической интегральной схемы (ПЛИС) устройство, позволяющее распознавать рукописные цифры с помощью СНС предложенной авторами архитектуры, основанной на архитектуре LeNet5 [4]. Приводятся результаты исследования эффективности этого устройства в части точности распознавания цифр, его производительности и энергопотребления.

1. Задача распознавания рукописных цифр на изображениях

Для решения задачи распознавания образов на изображениях обычно используются методы класси-

фикации, позволяющие отнести образы на изображениях (объекты) к определенному классу по существующим признакам, характеризующим такие объекты. Распознавание рукописных цифр – это частный случай задачи распознавания образов, который в настоящее время достаточно хорошо исследован [4, 5]. Сегодня при решении задачи распознавания рукописных цифр в качестве методов классификации используются весьма сложные, но и более точные методы, например, опорных векторов [6], и различного рода ИНС [7, 8]. Ряд исследователей вообще считает, что использование ИНС является наиболее перспективным направлением при распознавании на изображениях рукописных символов, в том числе цифр [9, 10]. Результаты многих исследований показывают, что точность классификации (точность распознавания символов) зависит от характера обучения ИНС, от объемов используемых обучающих выборок и т.д. [11 – 14].

Ян ЛеКун (англ. Yann LeCun) с коллегами для решения задачи распознавания рукописных цифр предложили новый вид ИНС – свёрточные нейронные сети [4]. Архитектура СНС, описанная в этой работе, получила название LeNet5. В [4, 15, 16] показано, что СНС по сравнению с ИНС других видов дают значительно меньшую ошибку при распознавании рукописных цифр.

В настоящее время при решении многих прикладных задач в области компьютерного зрения весьма востребованы мобильные, малогабаритные и имеющие низкое энергопотребление устройства распознавания рукописных цифр. Целью данной работы является создание такого устройства, аппаратно реализующего СНС предложенной архитектуры и обладающего высоким быстродействием и максимально возможной точностью распознавания рукописных цифр. При его разработке необходимо искать баланс между точностью распознавания рукописных цифр, энергопотреблением и быстродействием мобильного

устройства из-за ограниченности используемых вычислительных ресурсов. Это потребует дополнительных исследований эффективности разрабатываемого устройства.

Для аппаратной реализации СНС, обладающих высокой вычислительной сложностью, необходима соответствующая элементная база, которая позволила бы создать устройство с высокой производительностью. Основными вычислительными устройствами, с помощью которых обычно реализуют ИНС, в том числе и СНС – центральные процессоры (CPU) компьютеров и графические процессоры (GPU). Однако такие процессоры имеют большое энергопотребление, что неприемлемо в нашем случае. Программируемые логические интегральные схемы (ПЛИС) имеют низкое энергопотребление, а также позволяют реализовать параллельные вычисления, что важно при удовлетворении требования к устройству по быстродействию. Исходя из этого, для аппаратной реализации СНС была выбрана система на кристалле Cyclone V SX, в которой, кроме ПЛИС, имеется двухъядерный процессор ARM Cortex – A9. Плата Terasic SoCkit [17], взятая за основу устройства, содержит выбранную систему на кристалле, ОЗУ ёмкостью 1 Гб и слот для карты памяти microSD, которые напрямую подключены к процессору. Всё это позволяет упростить взаимодействие разрабатываемого устройства с подключаемыми периферийными устройствами и добиться от него низкого энергопотребления.

Отметим, что идея аппаратной реализации СНС на ПЛИС, по-видимому, впервые сформулирована в [18]. В работах [19, 20] показаны результаты ускорения вычислений при реализации СНС весьма сложной архитектуры AlexNet на ПЛИС с большими вычислительными ресурсами и с большим энергопотреблением. Такая ПЛИС позиционируется компанией Xilinx как основа для создания высокопроизводительных вычислительных систем. По количеству логических ячеек она превосходит выбранную нами ПЛИС в 11,7 раза, а по рабочей частоте — в 2 раза. Авторами этих работ не ставилась и не может быть решена с использованием такой ПЛИС задача по созданию мобильных устройств с низким энергопотреблением для распознавания рукописных цифр. Более того, исследуемые в [19, 20] методы распараллеливания вычислений для архитектуры СНС AlexNet не могут быть реализованы на ПЛИС, включая выбранную нами, с меньшими ресурсами. Предлагаемая и описанная далее архитектура СНС и её аппаратная реализация разрабатывались с учетом значительной ограниченности вычислительных ресурсов широко распространенных ПЛИС.

2. Архитектура свёрточной нейронной сети

В предложенной нами архитектуре СНС (рис. 1), подобной архитектуре LeNet5, используются свёрточные слои (convolutional layers), слои подвыборки (pooling layers), а в качестве функции активации применяется оператор «выпрямитель» (англ. *Rectified*

Linear Unit – ReLU), название по аналогии с однополупериодным выпрямителем в электротехнике.

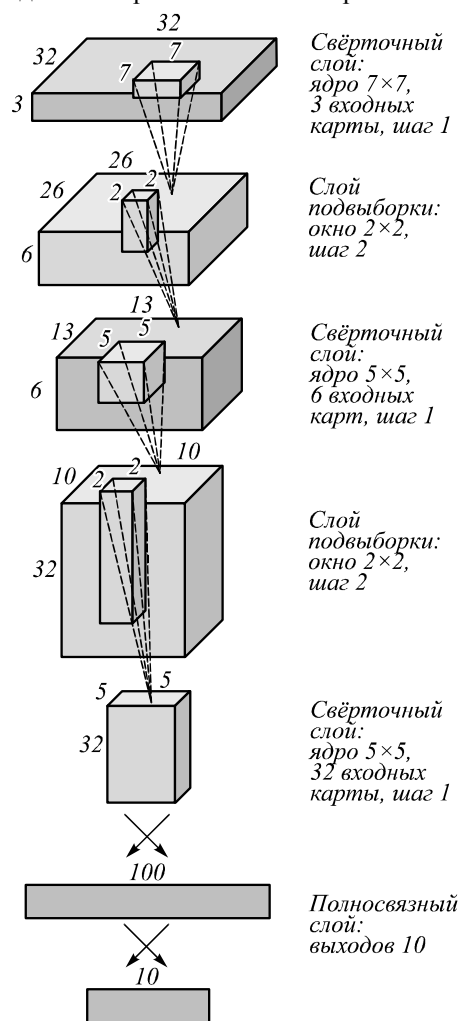


Рис. 1. Архитектура СНС

Использование ReLU имеет по сравнению с другими функциями активации ряд преимуществ: не требует ресурсоёмких операций, таких как возведение в степень и т.п., и повышает скорость обучения сети [21]. ReLU заменяет все отрицательные элементы на нулевые. Данная функция активации вычисляется как $\max(0, x)$.

Суть процедуры свёртки заключается в том, что каждый элемент двумерного изображения I умножается на матрицу K – ядро свёртки (англ. convolution kernel) размерности $h \times w$ поэлементно и результат суммируется и записывается в аналогичную позицию выходного изображения:

$$(I * K)_{xy} = \sum_{i=1}^w \sum_{j=1}^h K_{ij} * I_{x+i, y+j},$$

где x, y – координаты элемента в исходном изображении, i, j – координаты элемента в ядре свёртки, а w, h – ширина и высота ядра свёртки соответственно. Элементы изображения I являются входными значениями для нейрона в СНС, а ядро свёртки K хранит в себе значения весовых коэффициентов нейрона.

Ядро свёртки K по сути является фильтром, в котором закодирован некоторый ключевой признак объекта, извлекаемый из изображения. Таким образом, результат операции свёртки – это изображение, элементы которого хранят степень похожести фрагмента изображения на фильтр. Такое выходное изображение называется картой признаков.

Процедура свёртки является базовой для свёрточного слоя. Свёрточный слой содержит множество ядер свёртки, с помощью которых извлекаются ключевые признаки из входного изображения. В контексте метода СНС входным изображением свёрточного слоя является выход предыдущего слоя, к выходному слою применяется функция активации, а результаты записываются в карту признаков.

Архитектура свёрточного слоя задается параметрами: *глубина* – количество входных/выходных карт признаков; *высота* h и *ширина* w каждого из ядер свёртки; *шаг*, с которым ядро свёртки движется по входному слою. На рис. 1 изображены 3 свёрточных слоя. Первый из них обладает следующими параметрами: *высота* и *ширина* каждого ядра равны 7 элементам, *шаг* равен 1 элементу, *глубина* равна 3 (три входные карты). Наличие трех входных карт признаков у первого слоя позволяет применять сеть предложенной архитектуры не только для распознавания рукописных цифр, но и других объектов на изображениях. В большинстве СНС конечные слои являются полносвязными. Можно задать параметры для свёрточного слоя таким образом, чтобы получить из него полносвязный слой. Так, полносвязный слой на рис. 1 можно представить как свёрточный слой с такими параметрами: *высота* и *ширина* ядра свёртки будут равны 1, входные карты признаков будут размером 1×1 , а их *глубина* равна 100, количество выходных карт признаков будет равным 10.

Подвыборка (также может называться «пуллинг» от англ. *pooling*) уменьшает размерность каждой карты признаков, но сохраняет наиболее значимую информацию. Из рис. 1 видно, что после первого свёрточного слоя, результатом которого является 6 карт признаков размером 26×26 элементов, идёт слой подвыборки с окном 2×2 элемента и шагом 2. Входная карта признаков при подвыборке разбивается на области размером 2×2 элемента. Для каждой такой области выполняется процедура подвыборки, которая может проводиться по разным алгоритмам, например, выбор максимальных значений элементов, среднее значение для элементов области, сумма значений элементов и т.д. После процедуры подвыборки получается 6 карт признаков размером 13×13 элементов.

В случае подвыборки с использованием максимальных значений элементов (англ. *max pooling*) в выходное изображение записывается элемент с максимальным значением из каждого окна 2×2 элемента. В соответствии с результатами исследований из [22], данный алгоритм подвыборки работает лучше других, так как сокращает вычисления и обеспечивает независимость результата процедуры от изменения

входных данных. Поэтому он и был выбран нами, что важно для увеличения производительности разрабатываемого устройства.

Для извлечения ключевых признаков весовые коэффициенты процедуры свёртки настраиваются с использованием обучающей выборки. Существует множество обучающих выборок, собранных для решения различного рода задач. С учётом поставленной задачи распознавания рукописных цифр, хорошо подходит база изображений рукописных цифр *MNIST* [4, 23]. Сегодня она содержит 60000 обучающих и 10000 тестовых пар (изображение – метка). Изображения нормализованы по размеру и отцентрированы. Размер каждой цифры не более 20×20 пикселей, но вписаны они в квадрат размером 28×28 пикселей.

Для решения задачи создания устройства необходимо не только обучить программно реализованную СНС, но и использовать полученные весовые коэффициенты свёрточных слоёв в дальнейшем при аппаратной реализации этой сети. В настоящее время существуют несколько библиотек программ для создания и обучения ИНС [24]. Ранее нами была выбрана библиотека Caffe, использующая для хранения весовых коэффициентов 32-разрядные числа с плавающей запятой [25], и предложена методика переноса весовых коэффициентов для их использования в аппаратной реализации СНС [26]. Эта библиотека позволила программно реализовать СНС предложенной архитектуры и провести её обучение на обучающей выборке из базы *MNIST*.

Обучение СНС проводилось с использованием процедур из библиотеки Caffe, реализующих метод обратного распространения ошибки и один из методов оптимизации – метод стохастического градиентного спуска (англ. *Stochastic Gradient Decent – SGD*) [13, 14]. Параметры оптимизации взяты из обучающих примеров библиотеки. За одну итерацию выбиралось одно изображение из обучающей выборки. Всего осуществлялось 600000 итераций. Так как изображения из базы *MNIST* являются одноканальными, а на вход предлагаемой СНС необходимо подать трехканальное изображение, то на её вход одновременно подавались три копии изображения. В качестве функции потерь (англ. *loss function*) использовалась сумма квадратов разности между ожидаемым и полученным значением на выходе СНС. Веса сети инициализировались по методу Завьера [27].

3. Аппаратная реализация свёрточной нейронной сети

В аппаратной СНС вычислительные блоки будут двух типов, реализующих соответственно процедуры свёртки и подвыборки. Поскольку в архитектуре СНС используются процедуры свёртки с разными значениями параметров, то при аппаратной реализации первого слоя необходимо 6 вычислительных блоков свёртки, для второго слоя – 6 вычислительных блоков подвыборки, для реализации третьего слоя – 32 блока свёртки, четвертого – 32 блока подвыборки. Для пя-

того слоя необходимо 100 вычислительных блоков свёртки, а для шестого (полносвязного) – 10 блоков свёртки. Такие параллельно выполняемые вычислительные блоки используются в каждом слое с учётом того, что в СНС выходные карты признаков формируются независимо друг от друга.

3.1. Блоки базовых операций над числами

Исходя из анализа архитектуры СНС, можно считать, что основными (базовыми) операциями при вычислениях являются сложение, умножение (используются в процедуре свертки) и операция выбора максимального числа (используется в процедуре подвыборки). При этом вычисления ведутся над числами с плавающей запятой. Однако во многих ПЛИС, в том числе в используемой нами, отсутствуют встроенные блоки для выполнения операций с плавающей запятой. В этой связи необходимо было реализовать базовые операции над числами с плавающей запятой.

На рис. 2 показана функциональная схема разработанного базового блока (субблока – входит в состав вычислительного блока свёртки), реализующего операцию умножения над числами с плавающей запятой.

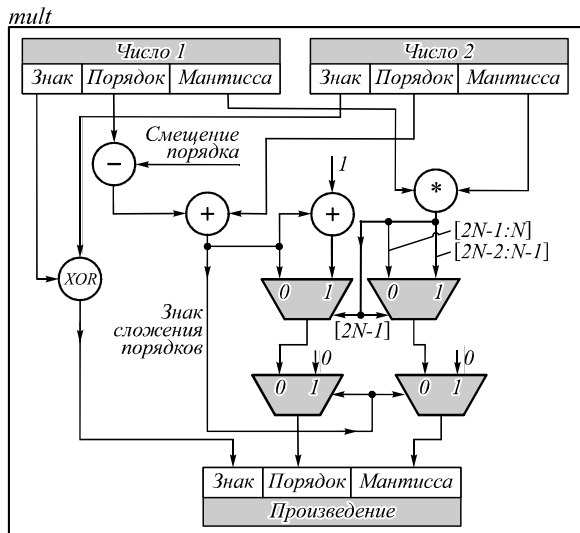


Рис. 2. Функциональная схема блока, реализующего операцию умножения

Знак результата операции умножения получается путём выполнения логической операции исключающего ИЛИ над знаками множителей. Порядок произведения выбирается в зависимости от старшего бита результата умножения мантисс либо как сумма порядков множителей, либо как её инкремент. Мантисса произведения выбирается в зависимости от старшего бита результата умножения мантисс так: либо старшие N бит произведения мантисс, либо старшие N бит произведения мантисс, взятые на один разряд правее.

Аппаратная реализация операции сложения над числами с плавающей запятой является более сложной задачей, чем реализация операции умножения. Основная проблема в том, что согласно стандарту IEEE 754, необходимо сначала привести два числа к одному порядку, а затем произвести сложение [28]. Однако это требует больших вычислительных ресур-

сов, поэтому операция сложения была реализована согласно работе [29], что позволило сократить использование ресурсов ПЛИС.

В соответствии с этим подходом была разработана функциональная схема блока, реализующего данную операцию (рис. 3).

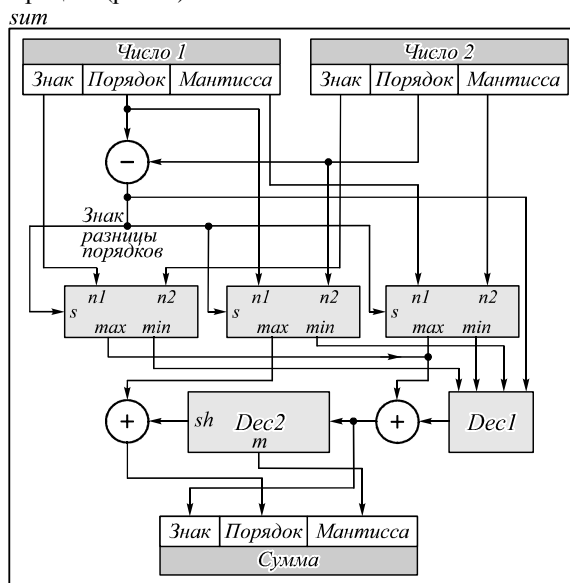


Рис. 3. Функциональная схема блока, реализующего операцию сложения

В субблоке упорядочивания исходных чисел на вход max подается $n1$, а на выход min – $n2$, если признак максимального числа $s = 1$; если же признак $s = 0$, то $max = n2$, $min = n1$. Признак максимального числа s вычисляется на основе разницы порядков операндов. Субблок $Dec1$ преобразует знак, порядок и мантиссу минимального слагаемого и формирует на выходе нормализованную мантиссу с учётом разницы между порядками слагаемых. Субблок $Dec2$ формирует значение смещения для порядка максимального операнда, а на выходе m – мантисса суммы. На вход $Dec2$ поступает результат сложения мантисс. Знак суммы вычисляется в результате сложения нормализованной мантиссы (выход $Dec1$) и мантиссы максимального операнда со знаком. Мантисса суммы формируется на основе поиска первой старшей единицы в субблоке $Dec2$. Порядок суммы вычисляется путём сложения порядка максимального операнда со значением смещения (выход sh субблока $Dec2$).

Рассмотрим аппаратную реализацию операции выбора максимального числа. Она основана на вычислении разниц между порядками и мантиссами двух чисел с плавающей запятой. Функциональная схема базового блока $comp$ для такой операции представлена на рис. 4.

Результат сравнения знаков входных чисел формируется логической операцией исключающего ИЛИ. Результаты сравнения порядков и мантисс чисел кодируются 0 или 1 в зависимости от знака разности. Dec декодирует поступающие на входы результаты сравнения знаков, порядков и мантисс входных чисел. Выбор максимального числа зависит от значения

выхода элемента *Dec*: если оно равно 0, то максимальное число 1, если – 1, то число 2. На выход блока подается максимальное число.

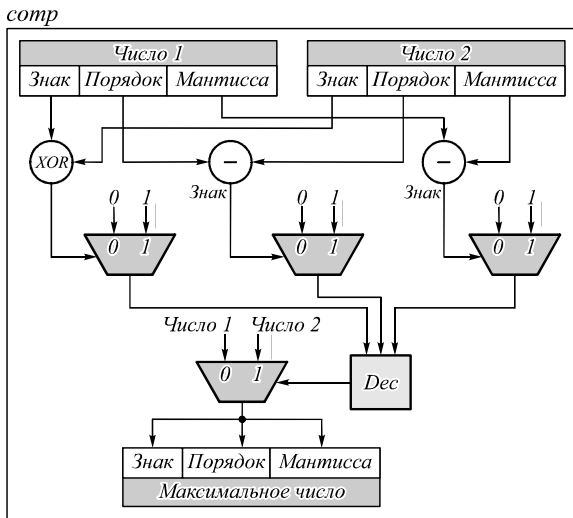


Рис. 4. Функциональная схема блока выбора максимального числа

3.2. Вычислительные блоки свёртки и подвыборки

Блоки (субблоки), реализующие базовые операции, использовались при создании вычислительных блоков свёртки и подвыборки. Так, для реализации блока свёртки используются блоки базовых операций умножения и сложения. Описание входных и выходных сигналов на функциональной схеме этого блока следующее (рис. 5): 1 – вход для значений весовых коэффициентов; 2 – входные значения нейронов; 3 – управляющий сигнал для вычисления свёртки; 4 – сигнал сброса автоматов; 5 – управляющий сигнал для окончания свёртки; 6 – вход для значения смещения нейрона; 7 – выходное значение нейрона.

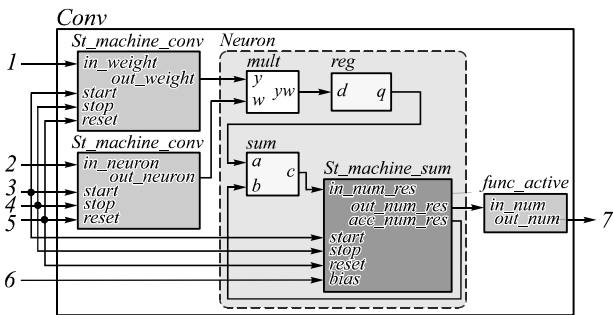


Рис. 5. Функциональная схема блока свёртки

Вычислительный блок свёртки содержит в себе субблок нейрона (*Neuron*) и управляющие автоматы *St_machine_conv*. Субблок *Neuron* состоит из автомата *St_machine_sum* и блоков операции умножения и сложения. Способ включения этих блоков операций позволяет организовать двухэтапный конвейер.

После поступления управляющего сигнала 3 начинают свою работу автоматы *St_machine_conv* и *St_machine_sum*. Два управляющих автомата *St_machine_conv* обеспечивают синхронизацию с внешними блоками, сброс и подачу входных значений и весов, считанных из блоков памяти *SRAM*, на

нейрон. Автомат *St_machine_sum* обеспечивает функцию накопления после операции сложения. Автомат спроектирован с учётом возможности использования в нейросети значений смещения (*bias* на рис. 5). По умолчанию смещение на всех слоях равно 0.

Работа конвейера в субблоке *Neuron* происходит следующим образом. В момент времени *t* выполняется умножение двух элементов и сложение результата умножения *t-1* с предыдущими значениями суммы (накопления). Результат умножения хранится в промежуточном регистре *reg*. Данное решение позволяет одновременно выполнять две операции с плавающей запятой, что приводит к увеличению производительности устройства.

Разработанная функциональная схема вычислительного блока подвыборки представлена на рис. 6.

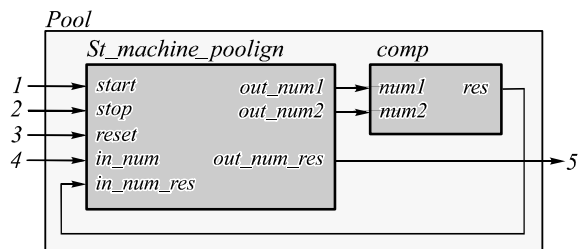


Рис. 6. Функциональная схема блока подвыборки

Описание входных и выходных сигналов на схеме следующее: 1 – управляющий сигнал для начала подвыборки; 2 – управляющий сигнал для окончания подвыборки; 3 – сигнал сброса автомата; 4 – входные значения для блока; 5 – выходное значение для блока. После поступления управляющего сигнала 1 начинает свою работу автомат *St_machine_pooling*, который обеспечивает синхронизацию с внешними блоками, сброс и подачу входных значений, считанных из блока памяти *SRAM*, на элемент *comp*. Затем происходит подача значений со входа 4 на выход автомата *out_num1* и значений входа *in_num_res* на *out_num2*. Значения на входе *in_num_res* формируются блоком *comp*. По завершении процедуры подвыборки получаем максимальное число ядра 2×2, которое подаётся на выход 5. Такая реализация позволяет производить поиск максимального числа за количество тактов, равное числу элементов в ядре.

3.3. Контроллеры памяти

При аппаратной реализации СНС необходимо хранить входные, промежуточные и выходные данные нейросети, а также в разных слоях следует обеспечить различные варианты доступа к памяти блокам свёртки и подвыборки. Для этого необходимы контроллеры памяти трёх видов. Первый из них – контроллер памяти для чтения входных и промежуточных значений карт признаков. Он используется в двух режимах: работа с общей памятью *CM* и разделенной памятью *CI*. Другой контроллер памяти *CO* предназначен для записи выходных значений слоев нейросети. Последний из них – контроллер памяти *CW* – обеспечивает чтение весовых коэффициентов связей между нейронами в слоях свёртки

3.4. Функциональная схема СНС

В итоге, учитывая изложенное выше, разработана функциональная схема реализации на ПЛИС СНС предложенной архитектуры (рис. 7).

На схеме показаны для слоев 1, 2, 5 вычислительные блоки свертки – $Conv_{n,m}$ и подвыборки – $Pool_{n,m}$, где n – номер слоя нейросети, а m – номер вычислительного блока в слое n . Вычислительные

блоки в слоях 3, 4 и 6 не детализированы. На схеме приведены и другие блоки: $Mlayer_{n,m}$ – блоки памяти, хранящие значение карт признаков; $Weight_{n,m}$ – блоки памяти, хранящие значения весовых коэффициентов, полученных на этапе обучения программной реализации СНС; $CM_{n,m}$, $CI_{n,m}$, $CO_{n,m}$ – контроллеры памяти для блоков $Mlayer_{n,m}$; $CW_{n,m}$ – контроллер памяти для блоков $Weight_{n,m}$.

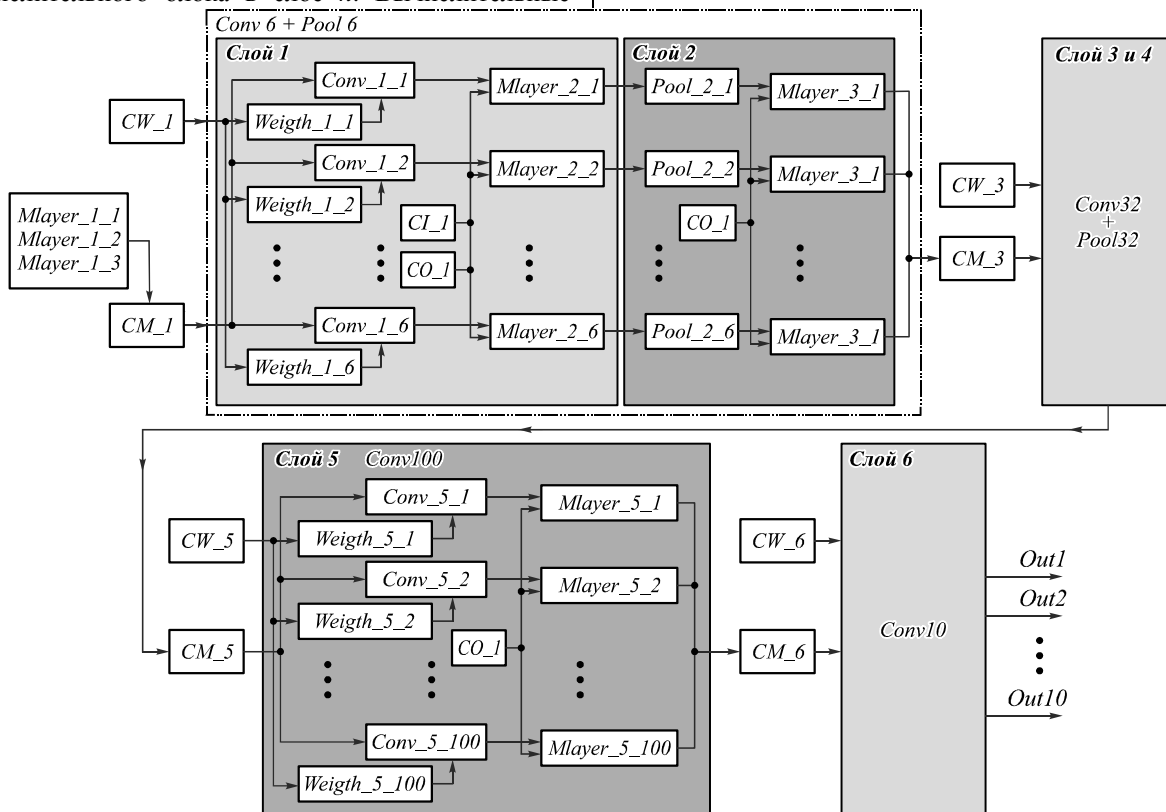


Рис. 7. Функциональная схема СНС

4. Особенности разработанного устройства

Структурная схема созданного устройства на ПЛИС с учётом окружения на плате Terasic SoCkit показана на рис. 8, а фотография устройства – на рис. 9.

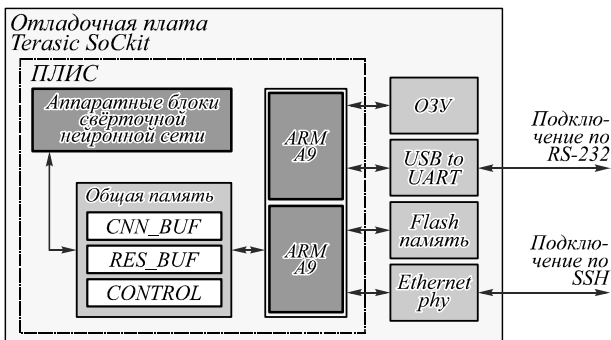


Рис. 8. Структурная схема устройства для распознавания рукописных цифр

Взаимодействие между аппаратной реализацией СНС и двухъядерным процессором ARM Cortex – A9 происходит через область общей памяти, к которой имеют доступ как аппаратная СНС, так и ядра процессора.

Область общей памяти разделена на несколько полей, которые имеют различное функциональное назначение. Область CNN_BUF является входной памятью для работы СНС. Область RES_BUF является памятью для записи результатов с выходов нейронной сети. $CONTROL$ – регистр управления нейронной сетью.

Взаимодействие с устройством происходит через терминалы по протоколам RS-232 или SSH.

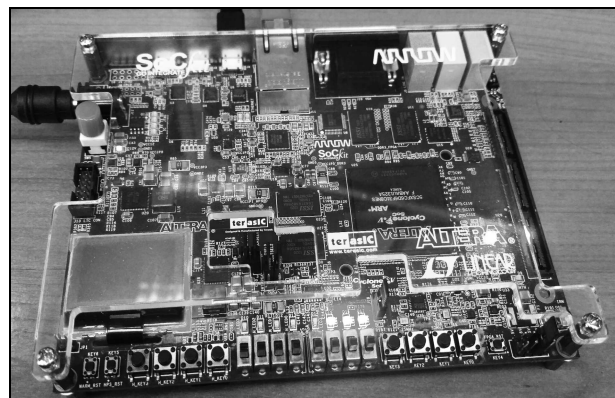


Рис. 9. Устройство для распознавания рукописных цифр на основе платы Terasic SoCkit

При реализации СНС на ПЛИС изначально планировалось использование 32-разрядного представления чисел с плавающей запятой, как наиболее распространённого формата чисел в случае СНС. Однако при синтезе устройства выяснилось, что для работы с числами в этом формате необходимо в 1,38 раза больше ресурсов (логических ячеек, регистров и т.п.), чем имеется у используемой ПЛИС. Поэтому было решено применять другие форматы представления чисел. В настоящее время при реализации СНС начинают использовать формат чисел с плавающей запятой половинной точности [30, 31]. Блоки базовых операций, описанные выше, позволяют проводить операции над числами с плавающей запятой других форматов, в том числе и этого формата.

Первый вариант созданного устройства позволяет работать с числами с плавающей запятой формата половинной точности (16 разрядов).

Второй вариант устройства использует формат 15-разрядного представления чисел с плавающей запятой. Данный формат не описан стандартом IEEE [28] и является собственным форматом. Он получен в результате сокращения на 1 бит мантиисы 16-разрядного представления числа с плавающей запятой.

Остальные три варианта устройства с 14-, 13-, 12-разрядным представлением чисел получены таким же образом.

Для оценки работоспособности всех вариантов устройства были проведены их логическая и физическая верификации. На этапе логической верификации проводилось сравнение значений выходов нейронов в устройстве, полученных моделированием работы устройства в программном пакете ModelSim [32], со значениями соответствующих выходов нейронов при программной реализации СНС. На этапе физической верификации значения выходов нейронов, полученные с помощью устройства и считанные при помощи программы SignalTapII [32], сравнивались с результатами логического моделирования. Верификация показала, что все пять вариантов устройства работоспособны.

5. Исследование эффективности программных и аппаратных реализаций СНС

Эффективность всех вариантов устройства исследовалась в части их производительности, точности распознавания рукописных цифр и энергопотребления. С целью сравнения исследовались эти же три параметра ещё для двух установок, на которых исполнялась программная реализация СНС той же архитектуры. В качестве первой установки использовался персональный компьютер (ПК) с процессором AMD Phenom II 925 с тактовой частотой 2,8 ГГц и ОЗУ DDR3-1333 МГц. На ПК была реализована СНС, использующая 32-разрядные числа с плавающей запятой (вариант установки назван ПК_32), и реализована СНС, использующая 16-разрядные числа (вариант ПК_16).

В состав другой установки входили двухъядерный процессор ARM – Cortex A9 с тактовой частотой 800 МГц и ОЗУ DDR3-800 МГц системы на кристал-

ле Cyclone V SX. Программная реализация СНС на этой установке также выполнялась в двух вариантах: работа с 32-разрядными числами (вариант установки А_32) и с 16-разрядными числами (вариант А_16).

Для реализации в первой и второй установках операций над 16-разрядными числами с плавающей запятой использовалась библиотека Half-precision floating point library из [33]. Программные реализации СНС компилировались с флагом оптимизации компилятора GCC – O2, а их выполнение проходило в одном потоке под управлением ядра ОС Linux в консольном режиме.

Третья установка аналогична первой, но в её состав дополнительно входит видеокарта Nvidia GTX 1060, на которой производятся основные вычисления. При программной реализации СНС предложенной архитектуры на данной установке использовалась модифицированная компанией Nvidia библиотека Caffe – NVCaffe, в которую добавлены программы поддержки операций над числами формата половинной точности [34]. Благодаря этому можно провести реализацию СНС на видеокarte при выполнении операции с 32-разрядными числами (вариант установки ГП_32) и с 16-разрядными числами (вариант ГП_16).

Варианты разработанного устройства в зависимости от формата представления чисел с плавающей запятой далее обозначены как АП_16, АП_15, АП_14, АП_13, АП_12. Тактовая частота аппаратных реализаций СНС – 50 МГц.

Исследования эффективности разработанных вариантов устройства и вариантов СНС на трех установках проводились с использованием 10000 тестовых изображений рукописных цифр из базы MNIST.

Результаты исследования точности распознавания рукописных цифр представлены в табл. 1, где $Q_{пр}$ – средняя точность распознавания цифр программным способом, а $Q_{ап}$ – средняя точность, полученная аппаратным способом.

Табл. 1. Результаты исследования точности распознавания рукописных цифр

Формат числа, бит	Точность, %	
	$Q_{пр}$	$Q_{ап}$
32	98,71	-
16	98,64	98,34
15	-	98,33
14	-	98,27
13	-	97,85
12	-	93,48

Средние значения $Q_{пр}$ и $Q_{ап}$ получены с учётом всех 10000 результатов распознавания цифр. Значения $Q_{пр}$ для ПК_32 и А_32 и ГП_32 (первая строка в табл. 1), а также для ПК_16 и А_16 (вторая строка) совпадают. Кроме того, совпадают значения точности для ГП_32 и ГП_16.

Будем считать значение $Q_{пр}$ для вариантов установок ПК_32, А_32 и ГП_32 за эталонное. Падение точности распознавания при использовании вариантов установок ПК_16 и А_16 относительно эталона невелико (на 0,07 %), однако оно значительно больше

при аппаратной реализации СНС для варианта устройства АП_16 (0,37%). Падение точности для всех вариантов устройства объясняется использованием упрощённой процедуры аппаратного сложения двух чисел с плавающей запятой. Следует отметить, что усечение мантиссы на 1–2 бита у вариантов АП_15 и АП_14 по сравнению с вариантом устройства АП_16 не сильно ухудшает точность распознавания. Варианты устройства АП_13 и АП_12 из-за невысокой точности распознавания рукописных цифр, по-видимому, не будут востребованы в практических приложениях. Заметим, что результаты исследований точности распознавания согласуются с результатами из [35], где также сделан вывод о падении точности при уменьшении разрядности представления весовых коэффициентов СНС.

Результаты исследования производительности вариантов устройства и трёх установок представлены в табл. 2, где $T_{об}$ – среднее время, за которое происходит распознавание одного тестового изображения из базы *MNIST*, начиная с его загрузки в память устройства и заканчивая получением результата распознавания, а $T_{пп}$ – среднее время работы СНС по распознаванию одной тестовой цифры. Относительная ошибка измерений – не более 3%.

Видим, что производительность всех вариантов устройства ниже, чем у вариантов установки ГП_32 и ГП_16 и близка к производительности ПК_32, но значительно превосходит производительность вариантов установок А_32, ПК_16 и особенно А_16. Иными словами, невзирая на малую тактовую частоту 50 МГц при аппаратной реализации СНС, производительность вариантов устройства высока за счёт параллельной работы вычислительных блоков. Разница между $T_{об}$ и $T_{пп}$ для всех вариантов устройства может быть уменьшена путём организации прямого доступа ПЛИС к общей памяти устройства.

Табл. 2. Результаты исследования производительности устройства и установок

Варианты устройства и установок	Время, мс	
	$T_{об}$	$T_{пп}$
ПК_32	3,042	2,980
ПК_16	21,331	21,264
А_32	11,489	11,200
А_16	99,144	97,296
ГП_32	0,822	0,774
ГП_16	1,704	1,652
АП_16	3,262	2,417
АП_15	3,266	2,417
АП_14	3,270	2,418
АП_13	3,265	2,417
АП_12	3,271	2,418

В табл. 3 представлены результаты измерения энергопотребления P вариантов устройства и трёх установок. Относительная ошибка измерений не более 3%.

Самым низким энергопотреблением обладают варианты установок А_32 и А_16. Немного больше

энергии, чем А_32 и А_16, потребляет каждый из вариантов устройства, однако это потребление в десятки раз меньше, чем у ПК_32, ПК_16, ГП_32 и ГП_16.

Табл. 3. Энергопотребление вариантов устройства и установок

Варианты устройства и установок	Энергопотребление, Вт	P
ПК_32	126,0	
ПК_16	126,0	
А_32	4,8	
А_16	4,8	
ГП_32	149,1	
ГП_16	138,1	
АП_16	5,1	
АП_15	5,1	
АП_14	5,1	
АП_13	5,1	
АП_12	5,1	

В табл. 4 сведены результаты исследований эффективности разработанных вариантов устройства и требуемые для реализации этих вариантов вычислительные ресурсы ПЛИС: количество используемых логических ячеек LUT и регистров REG.

Табл. 4. Результаты исследований вариантов устройства и требуемые ресурсы ПЛИС

Варианты устройства	Ресурсы ПЛИС		$Q_{ап}$, %	$T_{об}$, мс	P , Вт
	LUT, шт	REG, шт			
АП_16	64 114	20 598	98,34	3,262	5,1
АП_15	56 928	19 733	98,33	3,266	5,1
АП_14	53 699	18 868	98,27	3,270	5,1
АП_13	49 720	18 003	97,85	3,265	5,1
АП_12	43 829	17 138	93,48	3,271	5,1

Из табл. 4 следует, что при уменьшении длины мантиссы чисел на 1 разряд наблюдается сокращение количества ресурсов (LUT и REG), используемых каждым из вариантов устройства, на 6–11%. При этом падение точности распознавания остается в пределах 1%, кроме варианта устройства АП_12. Это указывает на возможность достижения компромисса между требованием к устройству по точности распознавания рукописных цифр и количеством необходимых для этого вычислительных ресурсов ПЛИС. Производительность и энергопотребление вариантов устройства практически не зависят от количества используемых вычислительных ресурсов ПЛИС, что важно при проектировании и эксплуатации таких мобильных устройств.

Заключение

Предложена архитектура СНС, подобная известной архитектуре LeNet5, для распознавания рукописных цифр. Учитывая значительную вычислительную сложность такой сети и весьма жёсткие требования к производительности и энергопотреблению мобильного устройства для распознавания рукописных цифр, решено было разработать его на основе ПЛИС-системы на кристалле Cyclone V SX.

Была программно реализована предложенная СНС, которая обучалась на изображениях рукопис-

ных цифр из известной базы *MNIST*. Полученные при обучении весовые коэффициенты сети затем использовались при её аппаратной реализации на ПЛИС.

На базе платы Terasic SoCkit, включающей ПЛИС с аппаратно реализованной СНС, создано пять вариантов устройства, отличающихся форматами представления чисел с плавающей запятой.

Проведены исследования точности распознавания рукописных цифр каждым из вариантов устройства и программно реализованной СНС на трёх различных вычислительных установках. Выяснилось, что программно реализованная СНС позволяет более точно распознавать цифры, чем любой из вариантов устройства. Однако варианты устройства с 16-, 15- и 14-разрядным представлением чисел с плавающей запятой дают практически приемлемые результаты распознавания рукописных цифр.

Исследования производительности и энергопотребления вариантов устройства и трёх установок, на которых программно исполнялась СНС, показали, что за счёт параллельной работы вычислительных блоков производительность всех вариантов устройства близка к производительности используемого ПК с процессором AMD Phenom 925, но ниже, чем у установки с этим же ПК и видеокартой компании Nvidia. При этом энергопотребление каждого из вариантов устройства в десятки раз меньше, чем у этого же ПК и тем более чем у установки, в состав которой входят ПК и видеокарта.

Полученные результаты разработки и исследований указывают на перспективность аппаратной реализации на ПЛИС с ограниченными вычислительными ресурсами СНС предложенной архитектуры и, соответственно, на возможность создания мобильных и энергоэффективных устройств для распознавания рукописных цифр с использованием этой сети.

Благодарности

Исследования были поддержаны грантом Программы повышения конкурентоспособности Томского политехнического университета, проект № ВИУ-ИК-110/2017.

Литература

1. **Chatfield, K.** Return of the devil in the details: Delving deep into convolutional nets / K. Chatfield, K. Simonyan, A. Vedaldi, A. Zisserman // Proceedings of the British Machine Vision Conference. – 2014. – DOI: 10.5244/c.28.6.
2. **Russakovsky, O.** ImageNet large scale visual recognition challenge / O. Russakovsky, J. Deng, H. Su, J. Krause, S. Satheesh, S. Ma, Z. Huang, A. Karpathy, A. Khosla, M. Bernstein, A.C. Berg, L. Fei-Fei // International Journal of Computer Vision. – 2015. – Vol. 115, Issue 3. – P. 211-252. – DOI: 10.1007/s11263-015-0816-y.
3. **Goyal, S.** Object recognition using deep neural networks: A survey [Electronical Resource] / S. Goyal, P. Benjamin. – 2014. – URL: <https://arxiv.org/pdf/1412.3684.pdf> (request date 26.07.2017).
4. **LeCun, Y.** Gradient-based learning applied to document recognition / Y. LeCun, L. Bottou, Y. Bengio, P. Haffner // Proceedings of the IEEE. – 1998. – Vol. 86, Issue 11. – P. 2278-2324. – DOI: 10.1109/5.726791.
5. **Reshma, A.J.** An overview of character recognition focused on offline handwriting / A.J. Reshma, J.J. James, M. Kavya, M. Saravanan // ARPN Journal of Engineering and Applied Sciences. – 2016. – Vol. 11, No. 15. – P. 9372-9378.
6. **Tuba, E.** Handwritten digit recognition by support vector machine optimized by bat algorithm / E. Tuba, M. Tuba, D. Simian // Proceedings of the 24th International Conference in Central Europe on Computer Graphics, Visualization and Computer Vision (WSCG 2016). – 2016. – P. 369-376.
7. **Спицин, В.Г.** Применение вейвлет-преобразования Хаара, метода главных компонент и нейронных сетей для оптического распознавания символов на изображениях в присутствии импульсного шума / В.Г. Спицин, Ю.А. Болотова, Н.Х. Фан, Т.Т.Ч. Буй // Компьютерная оптика. – 2016. – Т. 40, № 2. – С. 249-257. – DOI: 10.18287/2412-6179-2016-40-2-249-257.
8. **Elleuch, M.** A new design based-SVM of the CNN classifier architecture with dropout for offline Arabic handwritten recognition / M. Elleuch, R. Maalej, M. Kherallah // Procedia Computer Science. – 2016. – Vol. 80. – P. 1712-1723. – DOI: 10.1016/j.procs.2016.05.512.
9. **Alom, M.Z.** Handwritten bangla digit recognition using deep learning / M.Z. Alom, P. Sidike, T.M. Taha, V.K. Asari [Electronical Resource]. – 2017. – URL: <https://arxiv.org/pdf/1705.02680.pdf> (request date 10.10.2017).
10. **Maitra, D.S.** CNN based common approach to handwritten character recognition of multiple scripts / D.S. Maitra, U. Bhattacharya, S.K. Parui // Proceedings of the 13th International Conference on Document Analysis and Recognition (ICDAR). – 2015. – С. 1021-1025. – DOI: 10.1109/ICDAR.2015.7333916.
11. **Glauner, P.O.** Comparison of training methods for deep neural networks [Electronical Resource] / P.O. Glauner. – 2015. – URL: <https://arxiv.org/pdf/1504.06825.pdf> (request date 26.07.2017).
12. **Guerra, L.** Comparison between supervised and unsupervised classifications of neuronal cell types: a case study / L. Guerra, L.M McGarry, V. Robles, C. Bielza, P. Larrañaga, R. Yuste // Developmental Neurobiology. – 2011. – Vol. 71, Issue 1. – P. 71-82. – DOI: 10.1002/dneu.20809.
13. **Bottou, L.** Stochastic gradient descent tricks / L. Bottou. – In book: Neural networks: Tricks of the trade / ed. by G. Montavon, G.B. Orr, K.R. Müller. – Berlin, Heidelberg: Springer, 2012. – P. 421-436. – DOI: 10.1007/978-3-642-35289-8_25.
14. **LeCun, Y.A.** Efficient BackProb / Y.A. LeCun, L. Bottou, G.B. Orr, K.R. Müller. – In book: Neural networks: Tricks of the trade / ed. by G. Montavon, G.B. Orr, K.R. Müller. – Berlin, Heidelberg: Springer, 2012. – P. 9-48. – DOI: 10.1007/3-540-49430-8_2.
15. **Солдатова, О.П.** Применение свёрточной нейронной сети для распознавания рукописных цифр / О.П. Солдатова, А.А. Гаршин // Компьютерная оптика. – 2010. – Т. 34, № 2. – С. 252-259.
16. **El-Sawy, A.** CNN for handwritten arabic digits recognition based on LeNet-5 / A. El-Sawy, E.L.B. Hazem, M. Loey // Proceedings of the International Conference on Advanced Intelligent Systems and Informatics 2016. – 2016. – P. 566-575. – DOI: 10.1007/978-3-319-48308-5_54.
17. SoCkit – The development kit for new SoC device [Electronical Resource]. – URL: <http://www.terasic.com.tw/cgi-bin/page/archive.pl?CategoryNo=167&No=816> (request date 26.07.2017).

18. **Farabet, C.** An FPGA-based stream processor for embedded real-time vision with convolutional networks / C. Farabet, C. Poulet, Y. LeCun // IEEE 12th International Conference on Computer Vision Workshops (ICCV Workshops). – 2009. – P. 878-885. – DOI: 10.1109/ICCVW.2009.5457611.
19. **Zhang, C.** Optimizing FPGA-based accelerator design for deep convolutional neural networks / C. Zhang, P. Li, G. Sun, Y. Guan, B. Xiao, J. Cong // Proceedings of the 2015 ACM/SIGDA International Symposium on Field-Programmable Gate Arrays. – 2015. – P. 161-170. – DOI: 10.1145/2684746.2689060.
20. **Motamedi, M.** Design space exploration of FPGA-based deep convolutional neural networks / M. Motamedi, P. Gysel, V. Akella, S. Ghiasi // 21st Asia and South Pacific Design Automation Conference (ASP-DAC). – 2016. – P. 575-580. – DOI: 10.1109/ASPDAC.2016.7428073.
21. **Krizhevsky, A.** ImageNet classification with deep convolutional neural networks / A. Krizhevsky, I. Sutskever, G.E. Hinton // Proceedings of the 25th International Conference on Neural Information Processing Systems. – 2012. – Vol. 1. – P. 1097-1105.
22. **Scherer, D.** Evaluation of pooling operations in convolutional architectures for object recognition / D. Scherer, A. Müller, S. Behnke. – In book: Artificial Neural Networks – ICANN 2010 / ed. by K. Diamantaras, W. Duch, L.S. Iliadis. – Berlin, Heidelberg: Springer, 2010. – Part III. – P. 92-101. – DOI: 10.1007/978-3-642-15825-4_10.
23. The MNIST database of handwritten digits [Electronical Resource]. – URL: <http://yann.lecun.com/exdb/mnist> (request date 26.07.2017).
24. **Bahrampour, S.** Comparative study of deep learning software frameworks / S. Bahrampour, N. Ramakrishnan, L. Schott, M. Shah [Electronical Resource]. – 2016. – URL: <https://arxiv.org/pdf/1511.06435.pdf> (request date 26.07.2017).
25. **Jia, Y.** Caffe: Convolutional architecture for fast feature embedding / Y. Jia, E. Shelhamer, J. Donahue, S. Karayev, J. Long, R. Girshick, S. Guadarrama, T. Darrell // Proceedings of the 22nd ACM international conference on Multimedia (MM '14). – 2014. – P. 675-678. – DOI: 10.1145/2647868.2654889.
26. **Береснев, А.П.** Методика переноса весов нейронной сети из программной в аппаратную реализацию / А.П. Береснев, И.В. Зоев, А.Н. Мальчуков. – В кн.: Сборник трудов XIV Международной научно-практической конференции студентов, аспирантов и молодых ученых. – Томск: Изд-во ТПУ, 2016. – Т. 1. – С. 22-23
27. **Glorot, X.** Understanding the difficulty of training deep feed-forward neural networks / X. Glorot, Y. Bengio // Proceedings of the 13th International Conference on Artificial Intelligence and Statistics (AISTATS). – 2010. – P. 249-256.
28. 754-2008: IEEE standard for floating-point arithmetic. – Revision of ANSI/IEEE Std 754-1985. – New York: IEEE Publisher, 2008. – DOI: 10.1109/IEEESTD.2008.4610935.
29. **Zoev, I.V.** Implementation of 14 bits floating point numbers of calculating units for neural network hardware development / I.V. Zoev, A.P. Beresnev, E.A. Mytsko, A.N. Malchukov // IOP Conference Series: Materials Science and Engineering. – 2017. – Vol. 177, Issue 1. – 012044. – DOI: 10.1088/1757-899X/177/1/012044.
30. **Tavallaei, S.** Microsoft project Olympus hyperscale GPU accelerator (HGX-1) [Electronical Resource] / S. Tavallaei. – 2017. – URL: https://azure.microsoft.com/mediahandler/files/resourcefiles/00c18868-eba9-43d5-b8c6-e59f9fa219ee/HGX-1%20Blog_5_26_2017.pdf (request date 10.10.2017).
31. **Sánchez, O.M.** Adapting deep neural networks to a low-power environment [Electronical Resource] / O.M. Sánchez. – 2017. – URL: <https://upcommons.upc.edu/bitstream/handle/2117/106673/126470.pdf> (request date 10.10.2017)
32. Quartus II handbook volume 3: Verification [Electronical Resource]. – 2015. – URL: https://www.altera.com/content/dam/altera-www/global/en_US/pdfs/literature/hb/qts/qts_qii5v3.pdf (request date 26.07.2017).
33. Half 1.12. IEEE 754-based half-precision floating point library [Electronical Resource]. – URL: <http://half.sourceforge.net/index.html> (request date 10.10.2017).
34. NVIDIA: Caffe [Electronical Resource]. – URL: <https://github.com/NVIDIA/caffe> (request date 10.10.2017).
35. **Rastegari, M.** XNOR-Net: ImageNet classification using binary convolutional neural networks / M. Rastegari, V. Ordonez, J. Redmon, A. Farhadi // Proceedings of the European Conference on Computer Vision. – 2016. – P. 525-542. – DOI: 10.1007/978-3-319-46493-0_32.

Сведения об авторах

Зоев Иван Владимирович, 1993 года рождения, в 2017 году окончил магистратуру Томского политехнического университета по направлению 09.04.01 «Информатика и вычислительная техника», обучается в аспирантуре Томского политехнического университета по специальности 05.13.05 «Элементы и устройства вычислительной техники и систем управления». Область научных интересов: разработка цифровых устройств на ПЛИС, искусственные нейронные сети, машинное зрение. E-mail: ivz3@tpu.ru.

Береснев Алексей Павлович, 1994 года рождения, в 2016 году окончил бакалавриат Томского политехнического университета по направлению 09.03.01 «Информатика и вычислительная техника», обучается в магистратуре Томского политехнического университета по направлению 09.04.01 «Информатика и вычислительная техника». Область научных интересов: машинное зрение, обработка изображений, искусственные нейронные сети. E-mail: apb3@tpu.ru.

Марков Николай Григорьевич, 1950 года рождения, в 1973 году окончил Томский государственный университет по специальности «Радиофизика и электроника», профессор, д.т.н., профессор кафедры информационных систем и технологий Национального исследовательского Томского политехнического университета. Область научных интересов: интеллектуальный анализ данных, искусственные нейронные сети, геоинформационные системы и технологии, информационно-управляющие системы для нефтегазодобывающих производств. E-mail: markovng@tpu.ru.

Мальчуков Андрей Николаевич, 1982 года рождения, в 2005 году окончил Томский политехнический университет по направлению «Информатика и вычислительная техника», доцент, к.т.н., доцент Национального исследовательского Томского политехнического университета. Область научных интересов: разработка цифровых устройств на ПЛИС, помехоустойчивые полиномиальные коды. E-mail: Iman@tpu.ru.

ГРНТИ: 28.23.33

Поступила в редакцию 28 июля 2017 г. Окончательный вариант – 11 ноября 2017 г.

FPGA-BASED DEVICE FOR HANDWRITTEN DIGIT RECOGNITION IN IMAGES

I.V. Zoev¹, A.P. Beresnev¹, N.G. Markov¹, A.N. Malchukov¹
¹National Research Tomsk Polytechnic University, Tomsk, Russia

Abstract

We describe the design and manufacture of a mobile and energy efficient device that allows one to recognize handwritten digits in images using convolutional neural networks. The device is implemented on a field-programmable gate array (FPGA), which is included in the system-on-a-chip Cyclone V SX. Functional diagrams of the computational blocks implementing the convolution and pooling procedures are developed. Functional diagrams of the convolution neural network for the proposed architecture are also described. Results of testing the developed FPGA-based device for its efficiency in terms of handwritten digit recognition accuracy, recognition rate, and power consumption are presented. Results of a performance comparison between a hardware and software implementation of convolutional neural networks are presented.

Keywords: handwritten digit recognition in images, convolutional neural networks, FPGA-based device.

Citation: Zoev IV, Beresnev AP, Markov NG, Malchukov AN. FPGA-based device for handwritten digit recognition in images. *Computer Optics* 2017; 41(6): 938-949. DOI: 10.18287/2412-6179-2017-41-6-938-949.

Acknowledgements: This research work was funded by Tomsk Polytechnic University Competitiveness Enhancement Program grant, Project Number VIU-IC-110/2017.

References

- [1] Chatfield K, Simonyan K, Vedaldi A, Zisserman A. Return of the devil in the details: Delving deep into convolutional nets. *Proc of the BMVC 2014*. DOI: 10.5244/c.28.6.
- [2] Russakovsky O, Deng J, Su H, Krause J, Satheesh S, Ma S, Huang Z, Karpathy A, Khosla A, Bernstein M, Berg A C, Fei-Fei L. ImageNet large scale visual recognition challenge. *Int J Comput Vis* 2015; 115(3): 211-252. DOI: 10.1007/s11263-015-0816-y.
- [3] Goyal S, Benjamin P. Object recognition using deep neural networks: A survey. Source: <https://arxiv.org/pdf/1412.3684.pdf>.
- [4] LeCun Y, Bottou L, Bengio Y, Haffner P. Gradient-Based Learning Applied to Document Recognition. *Proc IEEE* 1998; 86(11): P.2278-2324. DOI: 10.1109/5.726791.
- [5] Reshma AJ, James JJ, Kavya M, Saravanan M. An overview of character recognition focused on off-line handwriting. *ARPN Journal of Engineering and Applied Sciences* 2016; 11(15): 9372-9378.
- [6] Tuba E, Tuba M, Simian D. Handwritten digit recognition by support vector machine optimized by bat algorithm. *WSCG 2016*: 369-376.
- [7] Spitsyn VG, Bolotova YuA, Phan NH, Bui TTT. Using a Haar wavelet transform, principal component analysis and neural networks for OCR in the presence of impulse noise [In Russian]. *Computer Optics* 2016; 40(2): 249-257. DOI: 10.18287/2412-6179-2016-40-2-249-257.
- [8] Elleuch M, Maalej R, Kherallah M. A new design based-SVM of the CNN classifier architecture with dropout for offline Arabic handwritten recognition. *Proc of the Computer Science*. 2016; 80(1): 1712-1723. – DOI: 10.1016/j.procs.2016.05.512
- [9] Alom MZ, Sidike P, Taha TM, Asari VK. Handwritten bangla digit recognition using deep learning. Source: <https://arxiv.org/abs/1705.02680>.
- [10] Maitra DS, Bhattacharya U, Parui SK. CNN based common approach to handwritten character recognition of multiple scripts. *ICDAR 2015*: 1021-1025. DOI: 10.1109/ICDAR.2015.7333916.
- [11] Glauner PO. Comparison of training methods for deep neural networks. Source: <https://arxiv.org/pdf/1504.06825.pdf>.
- [12] Guerra L, McGarry LM, Robles V, Bielza C, Larrañaga P, Yuste R. Comparison between supervised and unsupervised classifications of neuronal cell types: a case study. *Dev Neurobiol* 2011; 71(1): 71-82. DOI: 10.1002/dneu.20809.
- [13] Bottou L. Stochastic gradient descent tricks. In Book: Montavon G, Orr GB, Müller KR, eds. *Neural networks: Tricks of the trade*. Berlin, Heidelberg: Springer; 2012: 421-436. DOI: 10.1007/978-3-642-35289-8_25.
- [14] LeCun YA, Bottou L, Orr GB, Müller KR. Efficient Back-Prob. In Book: Montavon G, Orr GB, Müller KR, eds. *Neural networks: Tricks of the trade*. Berlin, Heidelberg: Springer; 2012: 9-48. DOI: 10.1007/3-540-49430-8_2.
- [15] Soldatova OP, Garshin AA. Convolutional neural network applied to handwritten digits recognition [In Russian]. *Computer Optics* 2010; 34(2): 252-259.
- [16] El-Sawy A., Hazem E.L.B., Loey M. CNN for Handwritten Arabic Digits Recognition Based on LeNet-5. *AISI* 2016: 566-575. DOI: 10.1007/978-3-319-48308-5_54.

- [17] SoCKit – The development kit for new SoC device. Source: (<http://www.terasic.com.tw/cgi-bin/page/archive.pl?CategoryNo=167&No=816>).
- [18] Farabet C, Poulet C, LeCun Y. An FPGA-based stream processor for embedded real-time vision with convolutional networks. ICCV Workshops 2009: 878-885. DOI: 10.1109/ICCVW.2009.5457611.
- [19] Zhang C, Li P, Sun G, Guan Y, Xiao B, Cong J. Optimizing FPGA-based accelerator design for deep convolutional neural networks. ACM/SIGDA 2015: 161-170. DOI: 10.1145/2684746.2689060.
- [20] Motamedi M, Gysel P, Akella V, Ghiasi S. Design space exploration of FPGA-based deep convolutional neural networks. ASP-DAC 2016; P. 575-580. DOI: 10.1109/ASPDAC.2016.7428073.
- [21] Krizhevsky A, Sutskever I, Hinton GE. ImageNet classification with deep convolutional neural networks. Proceedings of the 25th International Conference on Neural Information Processing Systems 2012; 1: 1097-1105.
- [22] Scherer D, Müller A, Behnke S. Evaluation of pooling operations in convolutional architectures for object recognition. In Book: Diamantaras K, Duch W, Iliadis LS, eds. Artificial Neural Networks – ICANN 2010. Berlin, Heidelberg: Springer; 2010: 92-101. DOI: 10.1007/978-3-642-15825-4_10.
- [23] The MNIST database of handwritten digits. Source: (<http://yann.lecun.com/exdb/mnist>).
- [24] Bahrapour S, Ramakrishnan N, Schott L, Shah M. Comparative study of deep learning software frameworks. Source: (<https://arxiv.org/pdf/1511.06435.pdf>).
- [25] Jia Y, Shelhamer E, Donahue J, Karayev S, Long J, Girshick R, Guadarrama S, Darrell T. Caffe: Convolutional architecture for fast feature embedding. Proc of the 22nd ACM international conference on Multimedia 2014: 675-678. DOI: 10.1145/2647868.2654889.
- [26] Beresnev AP, Zoev IV. Methodic of neural network weights transfer from software to hardware implementation [In Russian]. Trudy XIV Mezhdunarodnoy nauchno-prakticheskoy konferentsii studentov aspirantov i molodyh uchenyh 2016; 1: 22-23.
- [27] Glorot X, Bengio Y. Understanding the difficulty of training deep feedforward neural networks. AISTATS 2010: 249-256.
- [28] 754-2008: IEEE standard for floating-point arithmetic. Revision of ANSI/IEEE Std 754-1985. New York: IEEE Publisher, 2008. DOI: 10.1109/IEEESTD.2008.4610935.
- [29] Zoev IV, Beresnev AP, Mytsko EA, Malchukov AN. Implementation of 14 bits floating point numbers of calculating units for neural network hardware development. IOP Conference Series: Materials Science and Engineering 2017; 177(1): 012044. DOI: 10.1088/1757-899X/177/1/012044.
- [30] Tavallaei S. Microsoft project Olympus hyperscale GPU accelerator (HGX-1). Source: (https://azure.microsoft.com/mediahandler/files/resourcefiles/00c18868-eba9-43d5-b8c6-e59f9fa219ee/HGX-1%20Blog_5_26_2017.pdf).
- [31] Sánchez OM. Adapting deep neural networks to a low-power environment. Source: (<https://upcommons.upc.edu/bitstream/handle/2117/106673/126470.pdf>).
- [32] Quartus II handbook volume 3: Verification. Source: (https://www.altera.com/content/dam/altera-www/global/en_US/pdfs/literature/hb/qts/qts_qii5v3.pdf).
- [33] Half 1.12. IEEE 754-based half-precision floating point library. Source: (<http://half.sourceforge.net/index.html>).
- [34] NVIDIA: Caffe. Source: (<https://github.com/NVIDIA/caffe>).
- [35] Rastegari M, Ordonez V, Redmon J, Farhadi A. XNOR-Net: ImageNet classification using binary convolutional neural networks. ECCV 2016: 525-542. DOI: 10.1007/978-3-319-46493-0_32.

Authors' information

Ivan Vladimirovich Zoev (b. 1993), got his master's degree from Tomsk Polytechnic University in 2017 (Computer Science and Engineering), study in postgraduate's of Tomsk Polytechnic University on specialization "Elements and Devices of Computers and Control Systems". His research interests include hardware development, neural networks, machine vision. E-mail: ivz3@tpu.ru.

Alexey Pavlovich Beresnev (b. 1994), got his bachelor's degree from Tomsk Polytechnic University in 2016 (Computer Science and Engineering), study in master's of Tomsk Polytechnic University on specialization "Computer Analysis and Data Interpretation". His research interests include machine vision, image processing, neural networks. E-mail: apb3@tpu.ru.

Nikolay Grigorievich Markov (b. 1950) graduated from Tomsk State University in 1973 (Radio-Physics), Professor, Dr. Sci. He works as the Professor of Information Systems and Technologies department in Tomsk Polytechnic University. His research interests include intellectual data analysis, neural networks, geoinformation systems and technologies, information control systems for oil-and-gas production enterprises. E-mail: markovng@tpu.ru.

Andrey Nikolayevich Malchukov (b. 1982) graduated from Tomsk Polytechnic University in 2005 (Computer Science and Engineering). Associate Professor, Ph.D. He works as the Associate Professor in Tomsk Polytechnic University. His research interests include hardware development, error-correction polynomial codes. E-mail: Iman@tpu.ru.

Received July 28, 2017. The final version – November 11, 2017.